

원전의 중대사고시 MACCS 코드를 이용한 위험성 평가

Risk Assessments Using MACCS Code during Severe Accidents in a Nuclear Power Plant

황석원, 제무성
한양대학교
서울시 성동구 행당동 산 17

요 약

Level 3 PSA¹⁾는 원자력 발전소의 사고 시 누출된 방사성 동위원소로 인해 야기되는 환경 및 인체에 미치는 영향을 평가하는 것이다. 본 논문은 3단계 PSA의 중요 부분인 방사성물질의 방출 특성이 조기사망자와 암사망자에 미치는 영향에 대하여 MACCS 코드를 이용하여 소외결말분석을 수행하였다. 본 연구결과는 관련변수들의 상대적인 중요도를 평가하는데 유용할 뿐만 아니라 소외 리스크를 최소화시키기 위한 방안도출에 활용될 수 있다. 참조원전의 소외결말분석의 평가를 위한 방사선원의 방출변수로는 방출고도, 열함량, 방출기간의 3가지 변수를 선정하였으며 또한 전체 STC(Source Term Category) 19가지 시나리오에 대한 각 사고별 빈도수와 MACCS의 계산결과를 이용하여 참조원전의 위험성 평가를 수행하였다.

Abstract

The level 3 PSA being termed accident consequence analysis is defined to assess effects on health and environment caused by radioisotopes released from severe accidents of nuclear power plants. In this paper consequence analysis on early fatality and latent cancer fatality depending on release characteristics of radioisotopes has been performed using MACCS code. The results of this study may contribute to assessing the relative importance of various parameters as well as to identifying risk reduction strategies. Three parameters, such as release height, latent heat and duration time, are selected in this study and are used to evaluate the risk of a reference plant for the 19 source term categories.

1. 서론

MACCS 코드는 원전의 중대사고 시 방사성 물질 방출로 인한 소외 결말 분석에 사용된다. 이 코드의 계산수행은 입력자료의 처리와 현상 모델링, 출력자료의 처리 세 단계로 나누어지며, 정량적 평가는 ATMOS, EARLY, CHRONC³⁾의 세 모듈로 나누어서 수행된다. 또한 이 코드에서 취급하는 60개의 방사성 동위원소들은 9개의 주요 핵종 그룹으로 분류되어 되어 입력된다. 참조원전의 STC 1에서 STC 19까지 노심재고량과 방출분율을 중요 입력자료로 활용하였으며²⁾, 이 외에 바람의 방향, 속도, 대기안정도, 누적강수량의 기상자료와 인구분포, 육지지역의 분율 등과 관련된 부지관련 입력자료, 그리고 60개의 핵종과 12개의 장기를 대상으로한 선량 변환인자들이 입력자료로 사용되었다. MACCS 코드로 계산을 수행한 결과 대표적인 시나리오이자 초기사건이 Large LOCA(STC 15)에 관하여 방출고도, 열 함량 및 방출기간에 대한 조기사망자수와 암사망자수의 변화를 비교 분석하였다. 또한 전체 19가지 STC에 관한 조기 사망자 수와 암 사망자수의 결과와 각 사고시나리오별 빈도수를 이용하여 참조원전의 위험성 평가를 수행하였다. 이 결과는 차후 원전주변제한구역에 대한 재평가, 원전의 안전성에 관한 국민 수용성 제고(PA: Public Acceptance) 원전사고관리 계획수립(AMP: Accident Management Plan) 및 원전의 주기적 안전성 평가(PSR: Periodic Safety Review)의 기반기술로도 활용될 수 있을 것으로 사료된다.

2. 위험성 평가방법

본 연구에서 사용되는 MACCS 코드의 모델링은 전술한 바와 같이 ATMOS, EARLY, CHRONC의 3단계로 구성되어 있다. ATMOS 모듈은 방사성 물질의 대기내 이동 및 확산을 다루며, EARLY 모듈은 사고 후 약 일주일 정도 기간의 비상대응 기간 동안의 인체 및 주변환경에 미치는 영향 모델링을 취급한다. 그리고 CHRONC 모듈은 비상대응 기간 이후의 시간에서의 영향을 분석한다. 이 외에도 선량변환인자 입력파일, 기상자료 및 부지관련 입력파일이 있다. MACCS 코드의 중요한 입력자료인 STC별 방출 핵종별 방사선원의 방출분율은 MELCOR 전산코드를 사용하여 사고해석을 모사한 계산결과를 사용하였으며, 격납건물 파손형태를 그룹화하여 유사한 방사선원향으로 나눈 19개의 STC를 정의 하였다.²⁾ 이것은 STD(Source Term Diagram)으로 나타낼 수 있으며, 이 때 그룹화시키기 위한 매개변수들은 그림 1의 머리사건으로서 그 내용은 다음과 같다.

- 격납건물 우회사고(Containment Bypass: CONBYPASS)
- 격납건물 격리사고(Containment Isolation Status: CONISOLAT)
- 노심용융사고(Core Melt Progression Stopped before RV Failure/Debris Cooled In-Vessel: MELTSTOP)

- α-사고(No Alpha Mode Containment Failure: NO-ALPHA)
- 격납건물 파손시간 모드(Time of Containment Failure: Time-CF)
- 격납건물 파손모드(Mode of Containment Failure: MODE-CF)
- 데브리 냉각실패사고(Debris Cooled Ex-vessel: EXVCOOL)
- 순환스프레이 작동실패(No Recirculation Sprays Failure: NO-RECSP)

본 연구에서 MACCS 코드의 중요한 입력자료로 사용된 격납건물 외부로의 9개 핵종별 방출분율과 노심재고량은 각각 표 1과 표 2에 나타내었다.

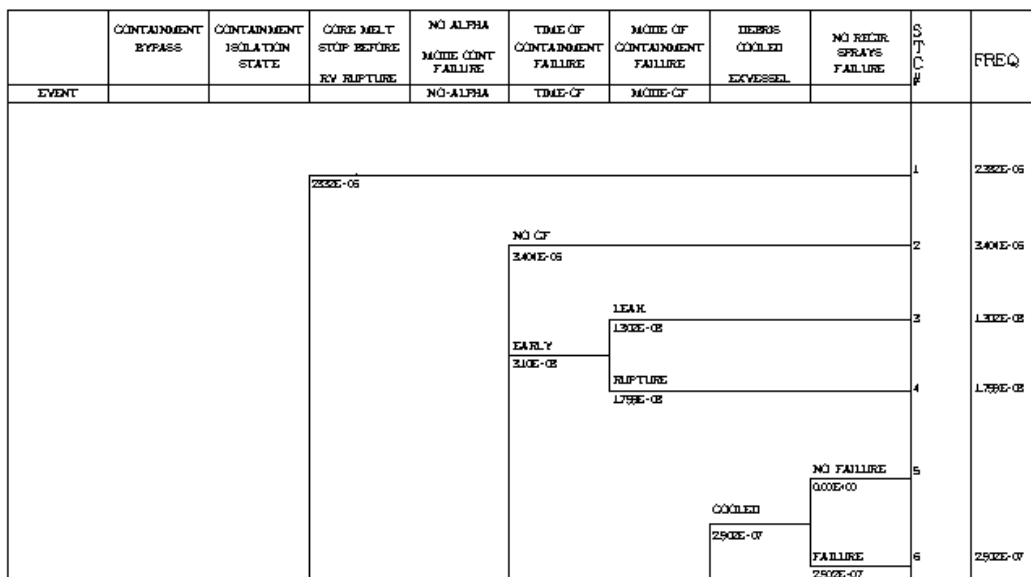


그림 1. 참조원전의 IPE에서 사용된 Source Term Logic Diagram⁵⁾

본 연구에서는 방사선원 방출 특성을 결정하는 여러 가지 방출 변수(Release Parameter)들 중에서 소외결말분석을 위한 중요한 방출변수는 방출고도(Release Height), 열 함량(Heat Content) 및 방출기간(Release Duration)⁴⁾이었다. 방출고도는 실제로 방출이 발생하는 주변 지역으로부터의 고도를 의미하며, 가장 보수적인 결과를 얻기 위해서는 지상방출(Ground Release)로 가정된다. 또한, 방출고도는 대기확산계산이나 주변건물이 대기확산에 미치는 영향을 분석하는데 매우 중요한 변수이기도 하다. 사고 시 환경으로 방출되는 방사성 물질의 온도가 주변 대기 온도보다 높으면 열 부력(Thermal Buoyancy)에 의해 플룸 상승(Plume Rise)이 발생한다. 이러한 플룸 상승에 영향을 미치는 중요한 인자는 열 함량인데 본 연구에서는 운동량에 의한 플룸 상승은 고려하지 않으며 열 부력에 의한 플룸 상승만을 고려하였다.

표 1. 참조원전의 방사능 격납건물 외부로의 방출분율 (4주기)

| | Xe/Kr | I | Cs | Te | Sr | Ru | La | Ce | Ba |
|--------|---------|---------|---------|---------|---------|---------|----------|---------|---------|
| STC 3 | 0.99791 | 0.99912 | 0.29395 | 0.16919 | 0.23800 | 0.11325 | 0.15558 | 0.12799 | 0.23791 |
| STC 4 | 0.99924 | 0.99949 | 0.45866 | 0.31602 | 0.21600 | 0.39355 | 0.14956 | 0.12348 | 0.21611 |
| STC 6 | 0.96196 | 0.96189 | 0.14780 | 0.01714 | 0.09610 | 0.04364 | 0.00139 | 0.00045 | 0.09607 |
| STC 8 | 0.54688 | 0.54684 | 0.00666 | 0.00882 | 0.00097 | 0.00195 | 0.00107 | 0.00016 | 0.00097 |
| STC 10 | 0.98072 | 0.98093 | 0.15133 | 0.03656 | 0.09310 | 0.04276 | 0.000289 | 0.00094 | 0.09309 |
| STC 12 | 0.99654 | 0.99647 | 0.31792 | 0.12627 | 0.19700 | 0.26720 | 0.00578 | 0.00063 | 0.19667 |
| STC 13 | 0.99953 | 0.99923 | 0.41327 | 0.40201 | 0.55900 | 0.44905 | 0.07208 | 0.17805 | 0.55873 |
| STC 14 | 0.99929 | 0.99950 | 0.42736 | 0.28933 | 0.17900 | 0.26682 | 0.11108 | 0.17540 | 0.17896 |
| STC 15 | 0.10399 | 0.10304 | 0.00296 | 0.00335 | 0.00279 | 0.00128 | 0.00118 | 0.00106 | 0.00279 |
| STC 16 | 0.99955 | 0.99952 | 0.35919 | 0.26097 | 0.28700 | 0.16238 | 0.26675 | 0.15698 | 0.28698 |
| STC 17 | 0.99060 | 0.99052 | 0.42568 | 0.45713 | 0.29900 | 0.36865 | 0.19231 | 0.13223 | 0.29874 |
| STC 18 | 0.31383 | 0.31390 | 0.04540 | 0.01097 | 0.02790 | 0.01283 | 0.00087 | 0.00028 | 0.02793 |
| STC 19 | 0.80606 | 0.75157 | 0.09309 | 0.01129 | 0.06620 | 0.06646 | 0.00165 | 0.00006 | 0.0662 |

표 2. 참조원전의 노심재고량 (4주기)

| Nuclide | Activity(Bq) | Nuclide | Activity(Bq) | Nuclide | Activity(Bq) |
|---------|--------------|---------|--------------|---------|--------------|
| CO-58 | 2.96E+16 | RU-103 | 4.16E+18 | CS-136 | 6.01E+16 |
| CO-60 | 1.51E+16 | RU-105 | 2.80E+18 | CS-137 | 1.28E+17 |
| KR-85 | 1.16E+16 | RU-106 | 7.86E+17 | BA-139 | 5.19E+18 |
| KR-85M | 7.25E+17 | RH-105 | 2.52E+18 | BA-140 | 5.09E+18 |
| KR-87 | 1.46E+18 | SB-127 | 2.33E+17 | LA-140 | 5.42E+18 |
| KR-88 | 2.03E+18 | SB-129 | 8.89E+17 | LA-141 | 4.66E+18 |
| RB-86 | 1.77E+15 | TE-127 | 2.25E+17 | LA-142 | 4.56E+18 |
| SR-89 | 2.90E+18 | TE-127M | 3.32E+16 | CE-141 | 4.69E+18 |
| SR-90 | 9.56E+16 | TE-129 | 8.42E+17 | CE-143 | 4.37E+18 |
| SR-91 | 3.49E+18 | TE-129M | 1.68E+17 | CE-144 | 2.49E+18 |
| SR-92 | 3.73E+18 | TE-131M | 5.49E+17 | PR-143 | 4.23E+18 |
| Y-90 | 1.07E+17 | TE-132 | 4.06E+18 | ND-147 | 1.86E+18 |
| Y-91 | 3.70E+18 | I-131 | 2.77E+18 | NP-239 | 5.97E+19 |
| Y-92 | 3.77E+18 | I-132 | 4.05E+18 | PU-238 | 9.72E+14 |
| Y-93 | 2.83E+18 | I-133 | 5.76E+18 | PU-239 | 7.02E+14 |
| ZR-95 | 4.93E+18 | I-134 | 6.40E+18 | PU-240 | 6.80E+14 |
| ZR-97 | 4.73E+18 | I-135 | 5.46E+18 | PU-241 | 1.77E+17 |
| NB-95 | 4.89E+18 | XE-133 | 5.50E+18 | AM-241 | 7.38E+13 |
| MO-99 | 5.21E+18 | XE-135 | 1.22E+18 | CM-242 | 1.47E+16 |
| TC-99M | 4.60E+18 | CS-134 | 9.54E+16 | CM-244 | 3.37E+14 |

방출기간(Release Duration)은 환경으로 방사선원이 방출되는 시작시점과 종료시점사이의 시간으로서 격납건물의 특성에 의해 좌우된다. 이 기간동안에 방출되지 않은 방사성 물질은 방사성 붕괴를 하기 때문에 양의 변화가 생기며 또한 풍향이 바뀌게 되면 방출된 방사성 물질의 영향을 받는 지역이 넓어지기도 한다. 그리고 동일한 방출분율의 방사성물질이 방출된다고 할지라도 시간 적분된 방사성 물질의 최대 농도는 시간이 긴 경우에 비해 짧은 경우가 그 값이 훨씬 크게 나타나기도 한다. 또한 32 Km, 80 Km까지의 거리 범위에 대하여 조기건강영향 즉, 골수, 폐, 위장계의 기능 손상으로부터 발생하는 조기사망(Early Fatality)과 후기건강영향인 암 사망은 백혈병, 골수암, 흉부암, 폐암, 갑상선암, 위암 및 기타 암으로부터 사망이 유발된다. 그리고 참조원전의 위험성 평가를 거리에 따른 각 STC 별 시나리오에 대한 조기사망자와 암사망자의 평균값과 95 퍼센타일 값(Quantile)을 정량적으로 계산한 결과를 각 사고 시나리오 별 빈도수를 이용하여 위험성 평가를 수행하였다. 이러한 위험도(Risk)는 특정사고의 발생확률에 사고로 인한 결말 효과를 곱한 값으로 정의되며 이는 실제로 발전소에서 발생하는 사고의 중요도를 결정하는 중요한 판단 기준이 된다. 이외에도 MACCS 코드의 결말분석을 위해 주민 소개에 대한 시나리오의 경우 주민 95 %는 사고 후 소개시키고 나머지 5 %는 소개되지 않고 남아 있는 것으로 가정하였으며, 주민 소개 속도는 1.8 m/s의 값을 사용하였다. 그리고 바람의 방향, 속도, 대기안정도, 누적 강수량 등이 포함된 참조원전의 실제기상자료와 인구분포, 육지지역의 분율 등 부지관련 자료를 입력자료로 사용하였다.

3. 결 과

사고 발생 빈도가 높은 6개의 STC 시나리오 가운데 빈도수가 가장 크며 초기사건이 Large LOCA인 STC 15에 관하여 각 방출변수에 대한 소외결말분석을 수행하였다. 첫 번째로 방출고도에 따른 조기사망자와 암사망자 수의 변화는 그림 2에 도시된 바와 같으며, 방출고도는 0 m부터 60 m까지 10 m간격으로 그 값을 변화시켜가며 그 영향을 검토하였다. 계산 결과에 의하면 방출고도의 변화는 암 사망에 미치는 영향이 거의 없음을 알 수 있었으나, 조기사망의 경우는 방출고도가 증가할수록 그 값이 감소하는 것을 알 수 있었다. 이는 방출고도가 높을수록 대기 난류가 대기확산에 미치는 영향이 크기 때문에 방사성 물질의 영향을 받는 지역은 넓어지지만 그 농도는 적어지기 때문에 조기 사망에 미치는 영향은 방출고도가 높아질수록 적어지며 암 사망에 대한 영향은 장기간에 걸친 영향이기 때문에 방출고도의 변화에 따른 영향은 무시할 정도였다. 또한, 조기사망이나 암 사망에 대한 보수적인 결과를 얻기 위해 정확한 방출고도를 알 수 없을 경우 지상방출을 가정해서 보수적으로 사용할 수도 있다.

표 3. 방출고도에 따른 조기 사망자수와 암 사망자수의 변화

| 방출고도 (m) | 0 Km ~ 32 Km | | 0 Km ~ 80 Km | |
|----------|--------------|----------|--------------|----------|
| | 조기 사망자수 | 암 사망자수 | 조기 사망자수 | 암 사망자수 |
| 0 | 6.21E-01 | 1.32E+01 | 6.21E-01 | 2.64E+01 |
| 10 | 5.64E-01 | 1.33E+01 | 5.64E-01 | 2.65E+01 |
| 20 | 4.44E-01 | 1.35E+01 | 4.44E-01 | 2.68E+01 |
| 30 | 3.04E-01 | 1.36E+01 | 3.04E-01 | 2.72E+01 |
| 40 | 1.86E-01 | 1.35E+01 | 1.86E-01 | 2.71E+01 |
| 50 | 1.02E-01 | 1.31E+01 | 1.02E-01 | 2.68E+01 |
| 60 | 5.02E-02 | 1.25E+01 | 5.02E-02 | 2.64E+01 |

그리고 열 함량의 변화에 따른 조기사망과 암 사망자수의 변화는 그림 3에 도시된 바와 같으며, 열 함량의 변화는 0 MW부터 60 MW까지 10 MW의 간격으로 값의 변화를 살펴보았다. 열 함량이 증가함에 따라 조기사망과 암 사망에 대한 값은 감소함을 알 수 있다. 열 함량 증가에 따른 암 사망에 대한 변화는 완만하지만 조기사망의 변화는 열 함량이 0 MW에서 20 MW까지 증가할 경우 조기 사망자의 감소 폭이 매우 크게 나타남을 알 수 있다. 이는 열 함량이 증가할수록, 플룸 상승이 증가하기 때문에 방사성 물질의 이동 및 확산이 진행되는 초기에 발전소로부터 바람 방향으로의 거리가 16 Km 이상까지 플룸 상승이 진행되므로 이로 인해 방사성 물질의 농도가 매우 낮은 지역이 발생하고 그 이후의 거리에서는 플룸 상승이 정지되고 다시 대기 난류에 의해 방사성 물질이 지상으로 이동하기 때문이다.

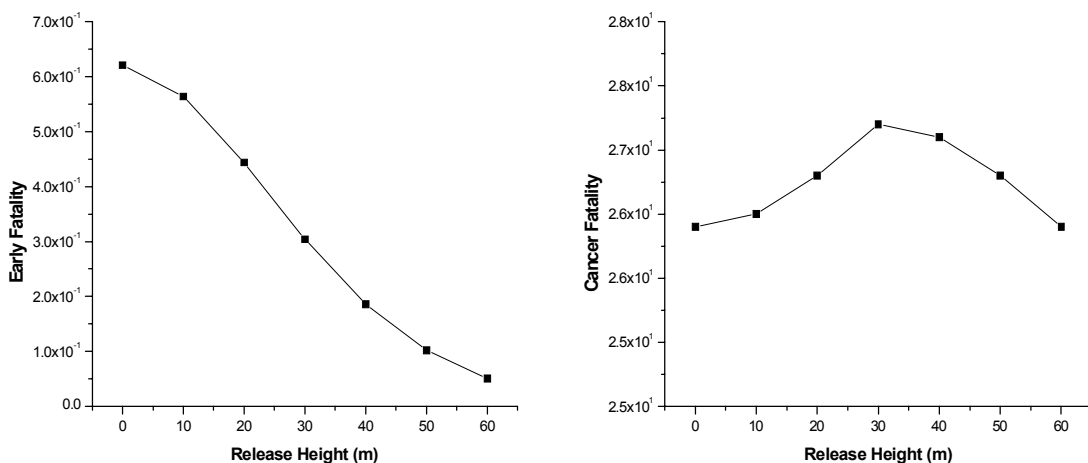


그림 2. 방출고도에 따른 조기 사망자 수와 암 사망자 수의 변화 (0~80Km)

표 4. 열 함량에 따른 조기 사망자수와 암 사망자수의 변화

| 열 함량 (MW) | 0 Km ~ 32 Km | | 0 Km ~ 80 Km | |
|-----------|--------------|----------|--------------|----------|
| | 조기 사망자수 | 암 사망자수 | 조기 사망자수 | 암 사망자수 |
| 0 | 5.02E-02 | 1.25E+01 | 5.02E-02 | 2.64E+01 |
| 10 | 3.74E-01 | 1.27E+01 | 3.74E-01 | 2.63E+01 |
| 20 | 1.84E-01 | 1.18E+01 | 1.84E-01 | 2.57E+01 |
| 30 | 1.23E-01 | 1.10E+01 | 1.23E-01 | 2.51E+01 |
| 40 | 7.85E-02 | 1.01E+01 | 7.85E-02 | 2.43E+01 |
| 50 | 5.58E-02 | 8.95E+00 | 5.58E-02 | 2.32E+01 |
| 60 | 4.85E-02 | 8.63E+00 | 4.85E-02 | 2.29E+01 |

또한 방출기간의 변화에 따른 조기사망과 암 사망의 변화는 그림 4에 도시된 바와 같다. 조기사망의 경우 방출지속시간이 증가할수록 감소하는 변화를 보이며, 암사망의 경우는 증가 후 약간 감소하는 변화를 보였다. 이 방출기간이 증가한다는 의미는 이 시간 동안에 방출되지 않은 방사성 물질이 방사성 붕괴를 일으키기 때문에 방출되는 방사성 물질의 양에 변화가 생기며, 또한 확산 도중에 풍향이 바뀔 가능성이 크기 때문에 피해 지역이 넓어질 가능성도 있다. 그리고 대기확산 평가 시 이 방출기간의 증가는 수평 확산계수의 증가를 통하여 보정해주기 때문에 방사성 물질이 더 넓은 지역으로 확산이 이루어진다.

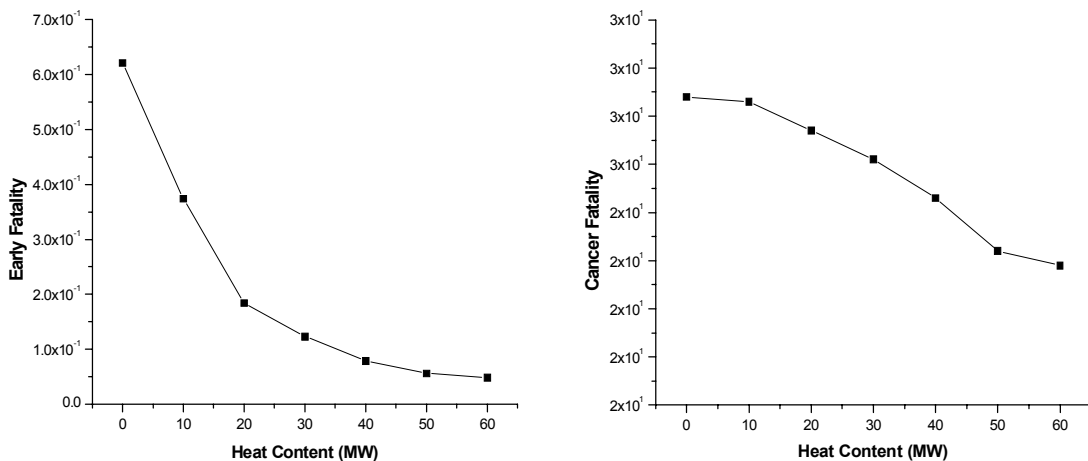


그림 3. 열 함량에 따른 조기 사망자수와 암 사망자 수의 변화 (0~80Km)

원자력발전소는 설계기준 사고라고 지칭되는 모든 가능한 사고에 대하여 독립성, 다양

성 및 다중성을 고려하여 발전소의 안전성을 확보하고 있다. 만약 원자력 발전소의 설계 기준 사고 범위를 넘는 노심손상 사고 시 소외지역의 인체 및 환경에 미치는 영향에 대한 체계적이고 종합적인 평가는 Level 3 PSA를 통하여 이루어진다. 이를 통하여 원자력 발전소의 사고 시 환경으로 방출되는 방사성 물질의 대기 내 이동 및 확산, 주요 선량평가, 건강영향평가, 경제적인 영향 평가 등을 수행하며 그 대부분 위험도(Risk)로써 주어진다.

표 5. 방출기간에 따른 조기 사망자수와 암 사망자수의 변화

| 방출기간 (Hr) | 0 Km ~ 32 Km | | 0 Km ~ 80 Km | |
|-----------|--------------|----------|--------------|----------|
| | 조기 사망자수 | 암 사망자수 | 조기 사망자수 | 암 사망자수 |
| 0.5 | 6.21E-01 | 1.32E+01 | 6.21E-01 | 2.64E+01 |
| 1 | 5.80E-01 | 1.66E+01 | 5.80E-01 | 3.01E+01 |
| 2 | 6.50E-01 | 2.10E+01 | 6.50E-01 | 3.48E+01 |
| 3 | 3.83E-01 | 1.58E+01 | 3.83E-01 | 2.98E+01 |
| 4 | 1.93E-01 | 1.19E+01 | 1.93E-01 | 2.60E+01 |
| 5 | 9.46E-02 | 9.60E+00 | 9.46E-02 | 2.38E+01 |
| 6 | 4.27E-02 | 7.99E+00 | 4.27E-02 | 2.22E+01 |
| 7 | 1.80E-02 | 6.89E+00 | 1.80E-02 | 2.11E+01 |
| 8 | 7.54E-03 | 6.03E+00 | 7.54E-03 | 2.03E+01 |

이러한 위험도는 특정사고의 발생확률에 사고로 인한 결말효과를 곱한 값으로 정의되며 앞서 기술한 바와 같이 실제로 발전소에서 발생하는 사고의 중요도를 결정하는 가장 중요한 판단 기준이 된다. 본 연구에서는 STC 19가지에 대한 조기 사망자수와 암 사망자 수에 대한 결말과 각 사고시나리오별 빈도수를 이용하여 참조원전의 위험도에 관해 정량적인 평가를 수행하였다. 그리고 32 Km, 80 Km까지의 거리범위에 대해 표 6, 7, 8은 STC 별 조기사망자와 암사망자의 평균값과 95 퍼센타일 (임의의 결말에 대해 조건부 확률이 0.05이상인 중대성의 정도이다)에 대하여 MACCS 코드의 계산을 수행하였으며, 그림 5와 6에 도시된 바와 같다. 각각의 조기 사망자수와 암 사망자 수의 결말 값과 각 STC 19가지 사고시나리오에 관한 빈도수를 각각 곱한 값을 작은 수에서 큰 수로 정렬한 후 그 값을 순차적으로 합산하여 값을 계산하였으며, 위험도 곡선에 대한 변화를 알아보았다. 그 결과 결말 값이 증가함에 따라 각각의 위험도의 평균값과 95 퍼센타일의 값은 감소함을 알 수 있었다.

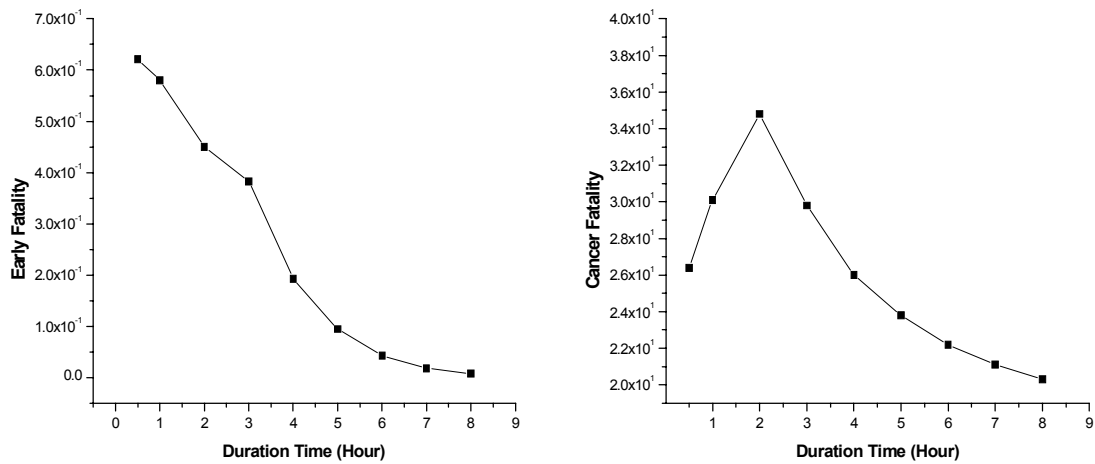


그림 4. 방출기간에 따른 조기 사망자수와 암 사망자수의 변화 (0~80 Km)

표 6. STC 별 조기 사망자에 대한 평균값과 95 퍼센타일 (0~32 Km)

| STC | Early Fatalities | | Early Fatalities×Frequency | | Frequency |
|--------|------------------|-------------|----------------------------|-------------|-----------|
| | Mean | 95 Quantile | Mean | 95 Quantile | |
| STC 3 | 2.84E+01 | 4.84E+01 | 3.69E-07 | 6.29E-07 | 1.30E-08 |
| STC 4 | 3.33E+01 | 7.02E+01 | 5.99E-07 | 1.26E-06 | 1.80E-08 |
| STC 6 | 0.00E+00 | 0.00E+00 | 0.00E+00 | 0.00E+00 | 2.90E-07 |
| STC 8 | 0.00E+00 | 0.00E+00 | 0.00E+00 | 0.00E+00 | 1.61E-07 |
| STC 10 | 0.00E+00 | 0.00E+00 | 0.00E+00 | 0.00E+00 | 1.46E-07 |
| STC 12 | 0.00E+00 | 0.00E+00 | 0.00E+00 | 0.00E+00 | 7.80E-08 |
| STC 13 | 0.00E+00 | 0.00E+00 | 0.00E+00 | 0.00E+00 | 1.62E-07 |
| STC 14 | 3.09E+01 | 1.26E+02 | 2.26E-07 | 9.24E-07 | 7.33E-09 |
| STC 15 | 6.21E-01 | 2.06E+00 | 3.06E-07 | 1.01E-06 | 4.92E-07 |
| STC 16 | 6.75E+01 | 3.71E+02 | 3.65E-07 | 2.00E-06 | 5.40E-09 |
| STC 17 | 6.67E+01 | 3.56E+02 | 1.84E-07 | 9.83E-07 | 2.76E-09 |
| STC 18 | 0.00E+00 | 0.00E+00 | 0.00E+00 | 0.00E+00 | 1.20E-09 |
| STC 19 | 0.00E+00 | 0.00E+00 | 0.00E+00 | 0.00E+00 | 1.19E-06 |

표 7. STC 별 조기 사망자에 대한 평균값과 95 퍼센타일 (0~80 Km)

| STC | Early Fatalities | | Early Fatalities×Frequency | | Frequency |
|--------|------------------|-------------|----------------------------|-------------|-----------|
| | Mean | 95 Quantile | Mean | 95 Quantile | |
| STC 3 | 2.84E+01 | 4.84E+01 | 3.69E-07 | 6.29E-07 | 1.30E-08 |
| STC 4 | 3.33E+01 | 7.03E+01 | 5.99E-07 | 1.27E-06 | 1.80E-08 |
| STC 6 | 0.00E+00 | 0.00E+00 | 0.00E+00 | 0.00E+00 | 2.90E-07 |
| STC 8 | 0.00E+00 | 0.00E+00 | 0.00E+00 | 0.00E+00 | 1.61E-07 |
| STC 10 | 0.00E+00 | 0.00E+00 | 0.00E+00 | 0.00E+00 | 1.46E-07 |
| STC 12 | 0.00E+00 | 0.00E+00 | 0.00E+00 | 0.00E+00 | 7.80E-08 |
| STC 13 | 0.00E+00 | 0.00E+00 | 0.00E+00 | 0.00E+00 | 1.62E-07 |
| STC 14 | 3.09E+01 | 1.26E+02 | 2.26E-07 | 9.24E-07 | 7.33E-09 |
| STC 15 | 6.21E-01 | 2.06E+00 | 3.06E-07 | 1.01E-06 | 4.92E-07 |
| STC 16 | 6.75E+01 | 3.71E+02 | 3.65E-07 | 2.00E-06 | 5.40E-09 |
| STC 17 | 6.67E+01 | 3.56E+02 | 1.84E-07 | 9.83E-07 | 2.76E-09 |
| STC 18 | 0.00E+00 | 0.00E+00 | 0.00E+00 | 0.00E+00 | 1.20E-09 |
| STC 19 | 0.00E+00 | 0.00E+00 | 0.00E+00 | 0.00E+00 | 1.19E-06 |

표 8. STC 별 암 사망자에 대한 평균값과 95 퍼센타일 (0~80 Km)

| STC | Cancer Fatalities | | Cancer Fatalities×Frequency | | Frequency |
|--------|-------------------|-------------|-----------------------------|-------------|-----------|
| | Mean | 95 Quantile | Mean | 95 Quantile | |
| STC 3 | 5.12E+02 | 3.36E+03 | 6.66E-06 | 4.37E-05 | 1.30E-08 |
| STC 4 | 6.22E+02 | 4.10E+03 | 1.12E-05 | 7.38E-05 | 1.80E-08 |
| STC 6 | 2.73E+01 | 1.42E+02 | 7.92E-06 | 4.12E-05 | 2.90E-07 |
| STC 8 | 1.30E+01 | 7.38E+01 | 2.09E-06 | 1.19E-05 | 1.61E-07 |
| STC 10 | 2.78E+01 | 1.43E+02 | 4.06E-06 | 2.09E-05 | 1.46E-07 |
| STC 12 | 6.20E+01 | 3.30E+02 | 4.84E-06 | 2.57E-05 | 7.80E-08 |
| STC 13 | 2.30E+02 | 1.20E+03 | 3.73E-05 | 1.94E-04 | 1.62E-07 |
| STC 14 | 5.17E+02 | 3.44E+03 | 3.79E-06 | 2.52E-05 | 7.33E-09 |
| STC 15 | 2.64E+01 | 1.28E+02 | 1.30E-05 | 6.30E-05 | 4.92E-07 |
| STC 16 | 6.34E+02 | 3.99E+03 | 3.42E-06 | 2.15E-05 | 5.40E-09 |
| STC 17 | 6.46E+02 | 4.00E+03 | 1.78E-06 | 1.10E-05 | 2.76E-09 |
| STC 18 | 1.43E+01 | 7.29E+01 | 1.72E-08 | 8.75E-08 | 1.20E-09 |
| STC 19 | 2.58E+01 | 1.33E+02 | 3.07E-05 | 1.58E-04 | 1.19E-06 |

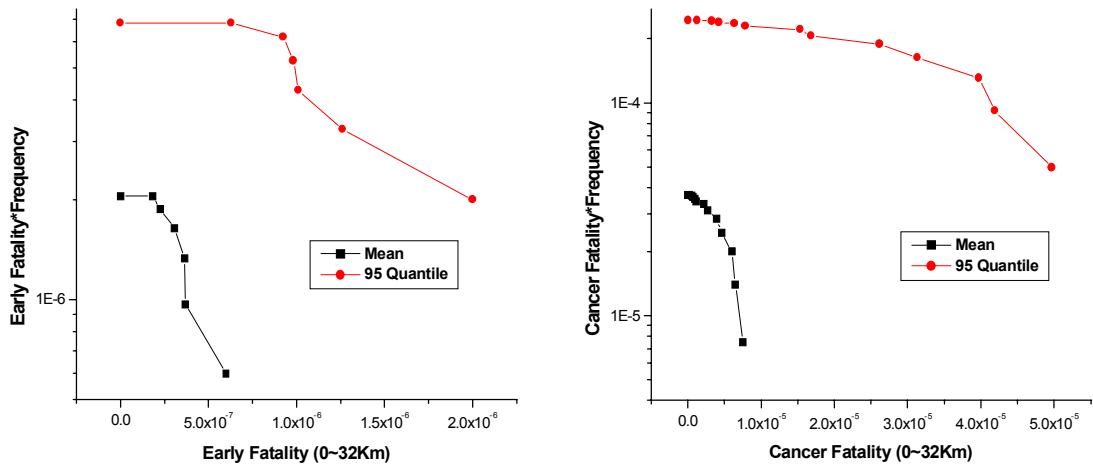


그림 5. 참조원전의 조기 사망자와 암 사망자에 대한 위험도 곡선 (0~32 Km)

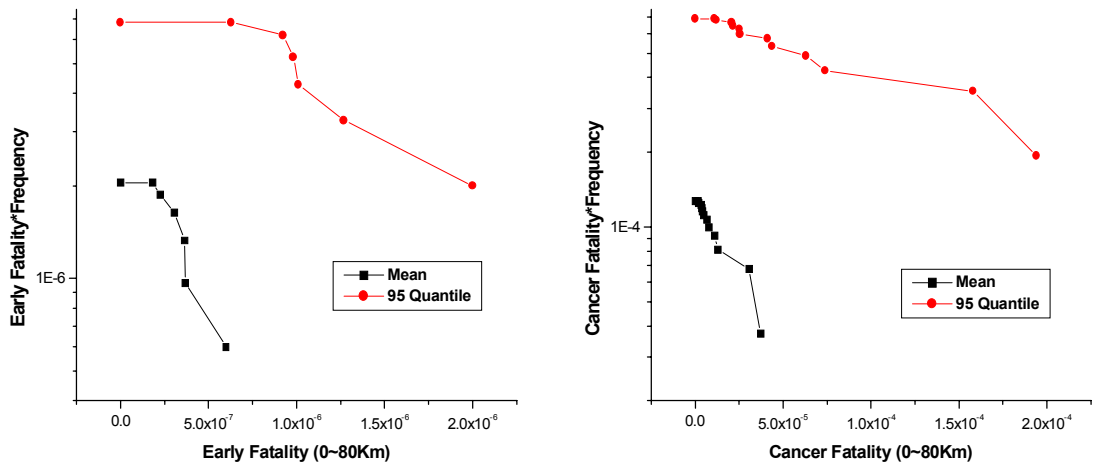


그림 6. 참조원전의 조기사망자와 암 사망자에 대한 위험도 곡선 (0~80 Km)

4. 결론

사고결말 분석이라 함은 원자력 발전소의 사고 시 누출된 방사성 동위원소로 인해 야기되는 환경 및 인체에 미치는 영향을 평가하는 것이다. 본 논문에서는 방사성물질의 방출 특성이 조기사망자와 암사망자에 미치는 영향에 대하여 MACCS 코드를 이용하여 소외결말분석을 수행하였으며 그 분석결과는 원전사고시 소외 리스크를 최소화시키기 위한 방안도출에 활용될 수 있다. 참조원전의 소외결말분석의 평가를 위한 방사선원의 방출변

수로는 방출고도, 열 함량, 방출기간의 3가지 변수를 선정하였다. 또한 전체 STC 19가지 시나리오에 대한 각 사고별 빈도수와 MACCS의 결과값을 이용하여 참조원전의 위험성 평가를 수행하였다. 방출고도의 변화는 조기사망과 관련한 평가에서 방출고도가 증가할수록 그 값이 감소하며 암사망자에 미치는 영향은 거의 없는 것으로 나타났다. 그리고 열 함량 값이 증가함에 따라 조기사망자와 암사망자의 값은 모두 감소하는 것으로 나타났으나, 조기사망자의 경우 열 함량이 0 MW에서 20 MW까지 증가할 경우 값의 감소폭이 매우 크게 나타났다. 그리고 방출기간변화에 따른 조기사망자의 변화는 방출기간이 증가할수록 감소하는 결과를 보여주었으나, 암사망자의 경우는 약간의 증가 후 감소하는 것으로 나타났다. 마지막으로 참조원전의 전체 STC 19가지에 대한 MACCS 코드의 결과값과 각 사고별 빈도수를 이용하여 위험도 곡선을 얻었으며, 그 결과의 특징으로는 조기사망자와 암사망자의 값이 증가할수록 위험도의 값의 변화는 감소하는 것으로 나타났다.

감사의 글

본 연구는 과학재단지정 우수공학연구센터인 방사선안전신기술연구센터의 PSA기법을 이용한 방사선원 위험도 평가기술 연구과제의 일환으로 수행되었다.

참고 문헌

1. IAEA, "Procedures for Conducting Probabilistic Safety Assessment of Nuclear Power Plants(Level 3)," Safety Series No. 50-P-12, 1996
2. Shane Park, Kyung Min Kang, Gyoo Dong Jeun, Moosung Jae, "Development of a Framework for Assessing Radiation Source Terms in Nuclear Power Plants," Journal of the Korean Association for Radiation Protection Volume 26, Number 3, 2001
3. D. I. Chanin, J. L. Sprung, L. T. Richie, and H. N. Jow, "MELCOR Accident Consequence Code System (MACCS)," NUREG/CR-4691, SAND86-1562, Sandia National Laboratories, February, 1990
4. 정종태 외, "방사선원 방출변수가 인체건강에 미치는 영향평가," 한국원자력연구소, 1998
5. "Final Probabilistic Safety Assessment Report for Ulchins 3&4," Korea Electric Power Corporation, Seoul, Korea, 1997
6. E. E. Lewis, "Nuclear Power Reactor Safety," John Wiley & Sons, Inc., 1977
7. Canadian Standards Association, "Guidelines for Calculating Radiation Doses to the Public from a Release of Airborne Radioactive Material under Hypothetical Accident Conditions in Nuclear Reactors," CAN/CSA-N288.2-M91, 1991